

# Estimativa de Localização com Triangulação de Sinais Baseado na Potência da Fonte Emissora

Ricardo Henrique Brunetto<sup>1</sup>

<sup>1</sup>Departamento de Informática – Universidade Estadual de Maringá (UEM)  
Maringá – PR – Brasil

ra94182@uem.br

**Resumo.** *Este artigo faz uso de métodos algébricos e numéricos para apresentar uma solução computacional no problema da triangulação de sinais, usando como fator de cálculo a potência da fonte emissora, com uma precisão específica no menor tempo computacional possível. Além disso, são discutidos, neste artigo, fatores que podem levar à imprecisão das estimativas.*

## 1. Introdução

Embora existam diversas formas de analisar as características dos dados de sinais para o cômputo da estimativa (natureza do sinal, intervalos de tempo entre envio e recebimento, ângulo do sinal, etc), será utilizada a potência do sinal. Isso porque existem modelos matemáticos mais bem estruturados e precisos, que são capazes de embasar com maior fidelidade a estimativa.

## 2. Metodologia

No modelo adotado para experimentação, elaborado por [Hwu and Kirk 2009a], a fonte emissora é disposta em um sistema de coordenadas de três dimensões onde  $m$  receptores são arranjados em posições  $(x_k, y_k, z_k)$ , onde cada coordenada indica a distância (em metros) do receptor  $k$  até a origem seguindo o respectivo eixo. Isso implica que as coordenadas são dadas em metros, o que servirá de apoio para desenvolvimento dos cálculos. Os casos experimentais de [Hwu and Kirk 2009a] utilizam 5 receptores e serão abordados posteriormente.

## 3. Fundamentação Teórica

**Estimativa da Distância em Função da Potência do Sinal:** A potência do sinal (em dBm) da fonte emissora serve como parâmetro para a estimativa da distância. Tal estimativa é baseada na **potência de referência** ( $p_0^k$ ), medida entre o emissor e o receptor  $k$  a 1 metro de distância, **fator de atenuação** do sinal do emissor até o receptor  $k$  ( $\mathcal{L}^k$ ). Assim, pode-se aferir, com certa precisão, a **distância** da fonte emissora em relação ao receptor  $k$  ( $d_k$ ) baseada na **potência do sinal** registrado pelo receptor  $k$  ( $p_k$ ) através da seguinte equação:

$$d_k = 10^{\frac{p_0^k - p_k}{10\mathcal{L}^k}} \quad (1)$$

## 4. Desenvolvimento

Esta seção será particionada em duas outras seções: **Desenvolvimento Matemático**, onde se deseja construir a solução matemática para o problema da estimativa da triangulação de sinais; **Desenvolvimento Computacional**, onde se deseja implementar os princípios e a lógica da solução desenvolvidos matematicamente para a construção de uma solução computacional que seja o mais rápida possível para determinada precisão, levando em conta demais aspectos e limitações computacionais.

### 4.1. Desenvolvimento Matemático

Supõe-se, portanto,  $m$  receptores dispostos em um sistema de coordenadas tridimensional, conforme exposto na Seção 2. Para cada sinal que a fonte emissora disparar, os  $m$  receptores o receberão e, com base em sua potência, calcularão, individualmente, a distância estimada que cada qual está do emissor ( $d_k$ , conforme a equação 1).

Conforme já mencionado, cada receptor  $k$  é capaz de cobrir uma região esférica. Assim, cada receptor  $k$  contribuirá com uma equação da forma

$$f_k(x, y, z) = (x - x_k)^2 + (y - y_k)^2 + (z - z_k)^2 = d_k^2 \quad (2)$$

onde

- $x_k, y_k, z_k$  são as coordenadas do receptor  $k$  (conhecidas);
- $x, y, z$  são as coordenadas da fonte emissora (desconhecidas);
- $d_k$  é a distância estimada do receptor à fonte (conhecida).

Serão, portanto,  $m$  equações não-lineares da forma acima. Logo, ter-se-á:

$$F(x, y, z) = \begin{cases} (x - x_1)^2 + (y - y_1)^2 + (z - z_1)^2 = d_1^2 \\ (x - x_2)^2 + (y - y_2)^2 + (z - z_2)^2 = d_2^2 \\ \vdots \\ (x - x_m)^2 + (y - y_m)^2 + (z - z_m)^2 = d_m^2 \end{cases}$$

$$\iff$$

$$F(x, y, z) = \begin{cases} x^2 - 2x_1x + x_1^2 + y^2 - 2y_1y + y_1^2 + z^2 - 2z_1z + z_1^2 = d_1^2 \\ x^2 - 2x_2x + x_2^2 + y^2 - 2y_2y + y_2^2 + z^2 - 2z_2z + z_2^2 = d_2^2 \\ \vdots \\ x^2 - 2x_mx + x_m^2 + y^2 - 2y_my + y_m^2 + z^2 - 2z_mz + z_m^2 = d_m^2 \end{cases}$$

Deseja-se, portanto, obter as raízes de  $F$ , pois  $F(x, y, z) = 0$  implica que a posição da fonte emissora, de acordo com todos os  $m$  receptores é melhor estimada em  $(x, y, z)$ . Conforme explanado anteriormente,  $x_k, y_k, z_k$  são conhecidas e, portanto podem ser agrupadas de forma que se tenha:

$$\begin{aligned} x^2 + y^2 + z^2 - 2(x_1x + y_1y + z_1z) &= c_1 \\ x^2 + y^2 + z^2 - 2(x_2x + y_2y + z_2z) &= c_2 \\ &\vdots \\ x^2 + y^2 + z^2 - 2(x_mx + y_my + z_mz) &= c_m \end{aligned}$$

onde  $c_k = d_k - (x_k^2 + y_k^2 + z_k^2)$ .

É necessário, nesse ponto, remover a não-linearidade do sistema, ou seja, transformá-lo em um sistema de equações lineares. Isso porque o método de resolução que se pretende aplicar é válido apenas para sistemas lineares. A técnica utilizada será reescrever o sistema como uma combinação linear das equações que se tem, o que não altera o sistema em si. Tem-se:

$$\begin{aligned} f_1 - f_2 &= 2x(x_2 - x_1) + 2y(y_2 - y_1) + 2z(z_2 - z_1) = c_2 - c_1 \\ f_1 - f_3 &= 2x(x_3 - x_1) + 2y(y_3 - y_1) + 2z(z_3 - z_1) = c_3 - c_1 \\ &\vdots \\ f_1 - f_m &= 2x(x_m - x_1) + 2y(y_m - y_1) + 2z(z_m - z_1) = c_m - c_1 \\ f_2 - f_m &= 2x(x_m - x_2) + 2y(y_m - y_2) + 2z(z_m - z_2) = c_m - c_2 \end{aligned}$$

Fazendo uso da notação matricial, tem-se:

$$\begin{aligned} \begin{bmatrix} 2x(x_2 - x_1) & 2y(y_2 - y_1) & 2z(z_2 - z_1) \\ 2x(x_3 - x_1) & 2y(y_3 - y_1) & 2z(z_3 - z_1) \\ \vdots & \vdots & \vdots \\ 2x(x_m - x_1) & 2y(y_m - y_1) & 2z(z_m - z_1) \\ 2x(x_m - x_2) & 2y(y_m - y_2) & 2z(z_m - z_2) \end{bmatrix}_{m \times 3} &= \begin{bmatrix} c_2 - c_1 \\ c_3 - c_1 \\ \vdots \\ c_m - c_1 \\ c_m - c_2 \end{bmatrix}_{m \times 1} \\ \iff \\ \begin{bmatrix} 2(x_2 - x_1) & 2(y_2 - y_1) & 2(z_2 - z_1) \\ 2(x_3 - x_1) & 2(y_3 - y_1) & 2(z_3 - z_1) \\ \vdots & \vdots & \vdots \\ 2(x_m - x_1) & 2(y_m - y_1) & 2(z_m - z_1) \\ 2(x_m - x_2) & 2(y_m - y_2) & 2(z_m - z_2) \end{bmatrix}_{m \times 3} \times \begin{bmatrix} x \\ y \\ z \end{bmatrix}_{3 \times 1} &= \begin{bmatrix} c_2 - c_1 \\ c_3 - c_1 \\ \vdots \\ c_m - c_1 \\ c_m - c_2 \end{bmatrix}_{m \times 1} \\ \iff \\ A_{m \times 3} \times X_{3 \times 1} &= B_{m \times 1} \end{aligned} \quad (3)$$

onde:

$$A = \begin{bmatrix} 2(x_2 - x_1) & 2(y_2 - y_1) & 2(z_2 - z_1) \\ 2(x_3 - x_1) & 2(y_3 - y_1) & 2(z_3 - z_1) \\ \vdots & \vdots & \vdots \\ 2(x_m - x_1) & 2(y_m - y_1) & 2(z_m - z_1) \\ 2(x_m - x_2) & 2(y_m - y_2) & 2(z_m - z_2) \end{bmatrix}, X = \begin{bmatrix} x \\ y \\ z \end{bmatrix}, B = \begin{bmatrix} c_2 - c_1 \\ c_3 - c_1 \\ \vdots \\ c_m - c_1 \\ c_m - c_2 \end{bmatrix}$$

Nota-se que, para  $m = 3$ , então  $A$  é uma matriz quadrada e, então, é válido:

$$A^{-1} \times A \times X = A^{-1} \times B$$

$$\iff$$

$$I \times X = A^{-1} \times B$$

$$\iff$$

$$X = A^{-1} \times B$$

e tem-se a resolução do sistema.

Contudo, para situações em que  $m > 3$ , tem-se um **Sistema Redundante**. Conforme explanado na Seção 3, o Método dos Mínimos Quadrados pode ser aplicado para normalizar sistemas de equações, removendo ambiguidades sem descartar equações.

Nota-se que,  $A_{m \times 3}$  possui transposta  $A_{3 \times m}^t$ . Nota-se, ainda que:

$$(A_{3 \times m}^t \times A_{m \times 3}) = A^t A_{3 \times 3}$$

que é uma matriz quadrada e, portanto, potencialmente inversível.

Partindo do fato de que  $\det(A^t A) \neq 0$  e do desenvolvimento previamente realizado em 3, tem-se:

$$\begin{aligned} A^t \times A \times X &= A^t \times B \\ \iff \\ (A^t \times A)^{-1} (A^t \times A) \times X &= (A^t \times A)^{-1} \times A^t \times B \\ \iff \\ I \times X &= (A^t \times A)^{-1} \times A^t \times B \\ \iff \\ X &= (A^t \times A)^{-1} \times A^t \times B \end{aligned} \tag{4}$$

## 4.2. Desenvolvimento Computacional

Esta seção será particionada nos três pontos necessários para a construção da desejada solução computacional: **Implementação**, onde a solução matemática exposta em 4.1 será codificada, bem como as estruturas de dados necessárias, a fim de garantir uma determinada precisão; **Otimização**, onde serão abordados aspectos referentes ao tempo computacional e formas de minimizá-lo; **Limitações**, onde serão expostas as limitações da solução e suas possíveis falhas.

### 4.2.1. Implementação

O desenvolvimento será feito em **MATLAB**, por apresentar um grande conjunto de bibliotecas que auxiliam operações básicas e ter naturalidade em trabalhar com matrizes, o que, de acordo com o desenvolvimento matemático prévio, é peça-chave para a resolução do problema. Nesse momento, não há preocupação em relação à otimização do código.

Inicia-se com o formato do arquivo que servirá de entrada. Para cada linha  $k$  do arquivo, espera-se 5 valores separados por espaços em branco, sendo eles referentes ao  $k$ -ésimo receptor:

$$x_k \ y_k \ z_k \ p_0^k \ \mathcal{L}^k$$

Além disso, tem-se uma função específica para tratar a entrada dos dados e dividi-la em 3 matrizes:

- $M$  que conterá as coordenadas  $x_k, y_k, z_k$ , devendo ter ordem  $m \times 3$ ;

- $P$  que conterá os valores  $p_0^k$ , devendo ter ordem  $m \times 1$ ;
- $L$  que conterá os valores  $\mathcal{L}^k$ , devendo ter ordem  $m \times 1$ .

```
function [M, P, L] = getInput(filename)
    delimiterIn = ' ';
    headerlinesIn = 1;
    Input = importdata(filename, delimiterIn, headerlinesIn);
    [rows, columns] = size(Input.data);
    for k = 1:rows
        pk = Input.data(k, columns-1);
        lk = Input.data(k, columns);
        M(k, 1:columns-2) = Input.data(k, 1:columns-2);
        P(k) = pk;
        L(k) = lk;
    end
    L = L.';
    P = P.';
end
```

Em seguida, deve-se ler a entrada das potências lidas pelos receptores em relação à fonte emissora ( $p^k$ , explanado na Seção 3). Para tanto, desenvolve-se uma nova função que será responsável por devolver uma matriz coluna  $Pk$  com os valores lidos.

```
function [ Pk ] = getPotencias( filename )
    delimiterIn = ' ';
    headerlinesIn = 1;
    Input = importdata(filename, delimiterIn, headerlinesIn);
    Pk = Input.data.';
end
```

Após realizar a leitura da entrada, será necessário calcular os valores de raio ( $d_k$ ), que serão armazenados em uma matriz coluna  $D$ . A função responsável por realizar tal cálculo está abaixo:

```
function [ D ] = calcularD(P, L, Pk)
    [rows, ~] = size(P);
    for k = 1:rows
        D(k) = 10^((P(k) - Pk(k))/(10*L(k)));
    end
    D = D.';
end
```

Em seguida, calcula-se os coeficientes das diferenças entre as equações, que foram representadas pelas matrizes  $A$  e  $B$ , conforme descrito na Seção 4.1. No código, também refere-se às matrizes em questão por  $A$  e  $B$ . Tal função é descrita abaixo:

```
function [ A, B ] = calcularAB( M, D )
    L1 = M(1, :);
    t1 = (sumsqr(M(1,:)) - D(1));
    [rows, ~] = size(M);
    for k = 2:rows
        A(k-1, :) = (M(k,:) - L1)*2;
        B(k-1) = (sumsqr(M(k,:)) - D(k)) - t1;
    end
    A(rows, :) = (M(rows,:) - M(2,:))*2;
    B(rows) = (sumsqr(M(rows,:)) - D(rows)) - (sumsqr(M(2,:)) - D(2));
    B = B.';
end
```

Por fim, com as matrizes  $A$ ,  $X$  e  $B$ , é possível implementar a equação 4 da seguinte forma:

```
X = inv(A.'*A)*A.'*B;
```

Assim, temos um **Script Principal** que realiza a chamada das funções (em arquivos separados) da seguinte forma:

```
[M, P, L] = getInput('input');
Pk = getPotencias('caso_teste');
D = calcularD(P, L, Pk);
[A,B] = calcularAB(M, D);
X = inv(A.'*A)*A.'*B;
```

Por fim, fazer-se-á uma pequena alteração no código da função principal, onde se adiciona um laço para percorrer todas as colunas da matriz  $P_k$  (que inicialmente prevê-se de ordem  $m \times 1$  e agora terá ordem  $m \times c$ , onde  $c$  é o número de medições diferentes que os receptores re realizaram, ou seja, o **número de casos de teste**) e armazenará cada solução em uma coluna da matriz  $Res$ . Além disso, fora adicionado um *script* para a construção gráfica da solução.

```
clear all;
[M, P, L] = getInput('input');
Pk = getPotencias('caso_teste');
[~, columns] = size(Pk);
for k = 1:columns
    clear D A B X
    D = calcularD(M, P, L, Pk(:,k));
    [A,B] = calcularAB(M, D);
    X = (inv(A.'*A)*A.')*B;
    Res(:,k) = X;
    drawCircle(M, D, X);
end
disp(Res);
```

Assim, a  $i$ -ésima coluna de  $Res$  guarda o resultado para a medição de potência armazenada na  $i$ -ésima coluna de  $P_k$ . A função *drawCircle* fora projetada para imprimir **gráficos bidimensionais** e implementada como se segue:

```
function drawCircle(M, D, X)
[rM, ~] = size(M);
figure; hold on;
for x = 1:rM
    x0 = M(x, 1); y0 = M(x, 2); r = D(x);
    t = 0:0.1:2*pi+0.1;
    x = r*cos(t) + x0;
    y = r*sin(t) + y0;
    plot(x0, y0, 'ok');
    plot(x, y, 'b');
end
plot(X(1), X(2), 'om');
hold off;
end
```

#### 4.2.2. Otimização

Aqui alguns trechos de código são resumidos a fim de se descartar operações desnecessárias. Como as implementações das funções em MATLAB são otimizadas

[MATLAB ], não há preocupação em alterar seus códigos. Assim, a otimização consiste em poupar operações desnecessárias e aumentar a precisão dos cálculos. Estima-se uma precisão de 30 dígitos decimais para os cálculos. Por fim, tem-se o código final alterado abaixo:

```
clear all;
digits(31);
[M, P, L] = getInput('input');
Pk = getPotencias('caso_teste');
[~, columns] = size(Pk);
for k = 1:columns
    clear D A B X
    D = calcularD(M, P, L, Pk(:,k));
    [A,B] = calcularAB(M, D);
    X = (inv(A.'*A)*A.')*B;
    Res(:,k) = X;
    drawCircle(M, D, X);
end
disp(Res);

function [ D ] = calcularD(P, L, Pk)
[rows, ~] = size(P);
for k = 1:rows
    D(k) = vpa(10^((P(k) - Pk(k))/(10*L(k))));
end
D = D.';
end

function [ A, B ] = calcularAB( M, D )
L1 = M(1, :);
digits(31);
t1 = (sumsqr(M(1,:)) - D(1));
[rows, ~] = size(M);
for k = 2:rows
    A(k-1, :) = vpa((M(k,:) - L1)*2);
    B(k-1) = (sumsqr(M(k,:)) - D(k)) - t1;
end
A(rows, :) = vpa((M(rows,:) - M(2,:))*2);
B(rows) = (sumsqr(M(rows,:)) - D(rows)) - (sumsqr(M(2,:)) - D(2));
B = B.';
end
```

Em termos práticos, o código está dividido em arquivos conforme o necessário para chamadas de funções. As demais funções não foram modificadas.

Outras otimizações poderiam ser realizadas no sentido de pré-alocar as matrizes utilizadas nos cálculos iterativos. Porém, a pré-alocação, apesar de diminuir o tempo de execução, pode afetar a precisão.

### 4.2.3. Limitações

As limitações relacionadas à solução não são pertinentes apenas à implementação do método. Contudo, serão essas as abordadas neste tópico, ou seja, aqui serão tratadas apenas os erros e falhas relativos à codificação da solução e sua execução pela máquina.

As possíveis falhas relativas ao modelo e aos dados serão comentadas na Seção 5.

A implementação é limitada, principalmente, pela capacidade representativa dos dados numéricos na máquina. Independente do sistema em que se trabalha, há uma limitação intrínseca em relação à quantidade de bits disponíveis para representar os dados, que é sempre finita. Contudo, alguns valores decimais exigem representação em infinitos bits, o que obviamente não é possível.

Nesse contexto, existem as operações de arredondamento e truncamento executadas pelo hardware ao trabalhar com os valores no padrão IEEE-754. Os detalhes pertinentes ao arredondamento e truncamento não serão abordados em detalhes, visto que fogem do escopo geral deste artigo, mas podem ser encontrados em [Hwu and Kirk 2009b].

A influência destas operações no resultado final não surte efeito significativo dependendo da precisão que se deseja alcançar e da quantidade de operações que se executa. Isso porque o erro é cumulativo, ou seja, vai se acumulando conforme são executadas operações que o causam. Não é equivocado afirmar que todas as operações computacionais podem imputar erro aos dados em que se trabalha. Entretanto, algumas operações causam erros mais significativos que outras, como é o caso da multiplicação e da divisão.

Como já abordado na Seção 4.2.2, o MATLAB conta com funções já otimizadas que, internamente, reduzem a quantidade de operações necessárias para atingir seus resultados, o que já contribui para a minimização nos erros. Por outro lado, na mesma Seção, foram reduzidas as operações desnecessárias, o que também poupa espaço de armazenamento e diminui os erros em relação às equações.

## 5. Discussão

Aqui nesta seção serão percorridos aspectos a respeito da eficiência do método utilizado, as imprecisões e os erros nos dados e no modelo e soluções viáveis que podem ser aplicadas a fim de minimizá-los.

Primeiramente, é importante salientar que extinguir o erro é quase impossível. Isso porque, ele pode estar vinculado à máquina processadora, conforme descrito na Seção 4.2.3, ou nos próprios dados e no modelo. Esse segundo caso é o alvo da discussão.

Em relação ao modelo, fez-se uso supondo que cada receptor é capaz de captar em determinado raio de alcance, definido pela posição relatada pelo mesmo a respeito da fonte emissora. Nota-se, contudo, que nem sempre isso se aplica. Existem casos onde o receptor não consegue captar em perfeita circunferência. Entretanto, este fato não contribui para um erro significativo no desenvolvimento. Por outro lado, é aplicado um método de resolução baseado na Álgebra Linear, relativo à manipulação de matrizes. Apesar de ser analiticamente descritível, a dita manipulação exige a realização de muitas operações computacionais (somadas, subtrações, multiplicações e divisões) o que, conforme salientado previamente, pode contribuir para erros ao serem executadas cumulativamente.

No entanto, o erro principal encontra-se nos dados. Isso porque, principalmente, trabalha-se com **ondas eletromagnéticas**. Tais ondas sofrem interferência direta do meio em que estão inseridas, pois não se intenta executar os experimentos (tampouco as aplicações) no vácuo ou em ambientes eletromagneticamente isolados. Dessa forma, as informações contidas nas ondas podem ser perdidas conforme a distância percorrida.



Assim, tem-se o fator de atenuação do  $k$ -ésimo receptor ( $\mathcal{L}^k$ ) não sendo exato, pois não é possível prever com precisão o quanto ter-se-á de interferência do meio em relação à potência do sinal da onda, visto que tal informação é dependente do meio. Isso implica que pequenas oscilações no ambiente podem ocasionar graves discrepâncias nos dados e isso **não** pode ser controlado.

Para tentar minimizar os erros dos dados, estima-se utilizar uma quantidade maior de medições, ou seja, uma constelação de receptores maior que 3. Dessa forma, embora seja uma *triangulação* de sinais, utiliza-se uma quantidade maior para que a medição seja mais precisa. É fato que cada um dos receptores terá um erro embutido nos dados que captará da fonte emissora. Contudo, espera-se que a média desses erros minimize o erro geral, uma vez que algumas medições podem ser maiores que seu valor real, enquanto outras podem ser menores. Assim, apesar de haver uma quantidade maior de equações e uma quantidade maior de erros, há uma probabilidade maior de que estes erros se anulem no decorrer dos cálculos (ou não). Inclusive, visando considerar todos os erros de todas as equações, foi empregado o Método dos Mínimos Quadrados na Seção 4.1.

Além disso, uma outra fonte de erros a ser considerada é o próprio receptor e o próprio emissor. Isso porque podem existir falhas relativas à emissão do sinal e falhas relativas à leitura do sinal. O equipamento do receptor pode não executar a leitura correta dos dados, estimando que a potência de chegada tenha sido menor ou maior que a real, da mesma forma que o equipamento do emissor pode não ser capaz de enviar o sinal na potência esperada. Apesar de, em geral, ocasionarem erros não muito significativos no escopo geral, são erros intrínsecos ao equipamento que geram erros nos dados a serem processados. Novamente, uma alternativa para atenuação dos erros é a utilização de vários equipamentos na esperança de que, entre uma oscilação de erros, sejam anulados no cálculo final.

### 5.1. Casos Teste

Aqui serão realizados alguns testes com a implementação realizada na Seção 4.2. Serão expostas informações sobre cada caso de teste e serão percorridas pequenas considerações a respeito dos resultados. A estrutura geral do caso de teste será:

- Arquivo de Entrada das Potências
- Resultado Obtido
- Resultado Gráfico
- Discussão

Para a execução dos casos teste serão **desconsideradas** as alturas (coordenadas do eixo  $z$ ) dos receptores. Isso porque todos estão dispostos na mesma altura o que, ao calcular a diferença entre as equações resultaria em uma fila nula na matriz  $A$  e não atenderia à condição  $\det(A) \neq 0$  explanada na Seção 4.1. Assim, para todos os casos de teste, aplicar-se-á o seguinte arquivo de entrada:

```
xk yk pk0 Lk
1.55 17.63 -26.0 2.1
-4.02 0.00 -33.8 1.8
-4.40 9.60 -29.8 1.3
9.27 4.64 -31.2 1.4
9.15 12.00 -33.0 1.5
```

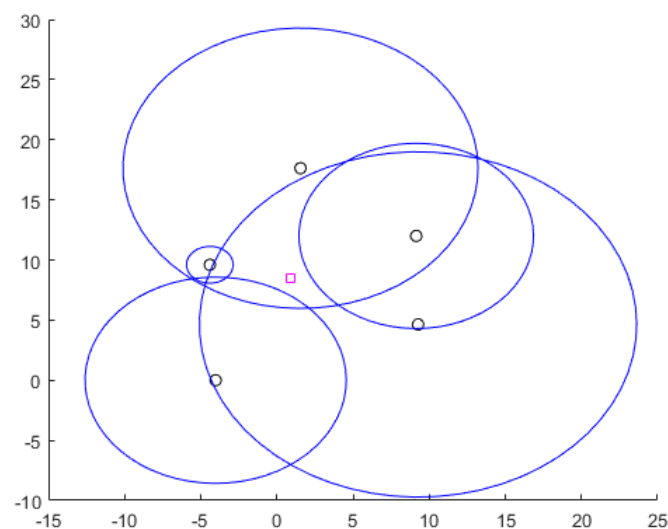
**Caso de Teste 1** : Posição Real do Emissor: (0.00, 9.00).

#### Arquivo de Entrada das Potências

```
p1 p2 p3 p4 p5
-48.4 -50.6 -32.2 -47.4 -46.3
```

#### Resultado Obtido

```
0.8791627839758111735352172170082
8.443588564564251193188780411229
```



**Figure 1. Resultado gráfico do Caso de Teste 1**

#### Resultado Gráfico

**Discussão** Neste caso, o teste convergiu para o valor esperado com dada precisão. É possível visualizar no resultado gráfico a estimativa da posição da fonte emissora na interseção da maior quantidade de receptores, o que infere uma boa qualidade na estimativa.

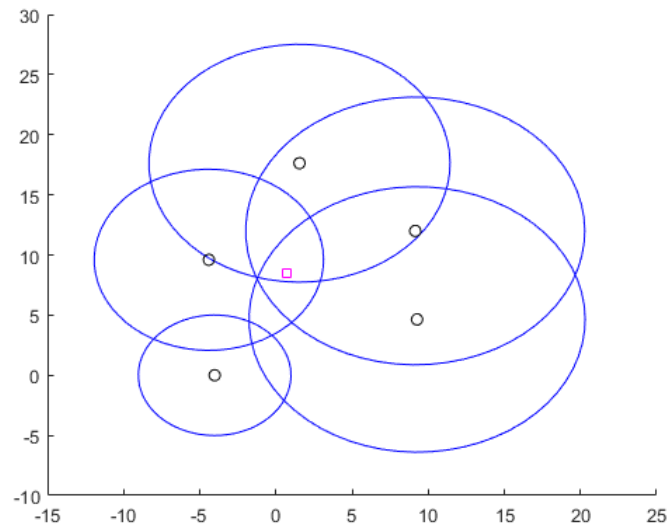
**Caso de Teste 2** : Posição Real do Emissor: (3.00, 3.00).

#### Arquivo de Entrada das Potências

```
p1 p2 p3 p4 p5
-46.9 -46.4 -41.2 -45.8 -48.7
```

#### Resultado Obtido

```
0.7646725892734015773152996447686
8.438517018906009038428898093488
```



**Figure 2. Resultado gráfico do Caso de Teste 2**

### **Resultado Gráfico**

**Discussão** Neste caso, o teste não convergiu para o valor esperado com dada precisão. Pela análise dos valores estima-se que tenha ocorrido uma discrepância significativa entre os dados coletados pelos receptores, visto que a posição esperada não foi atingida em nenhuma das coordenadas analisadas. Isso pode significar uma falha decorrente de variações do ambiente ou limitações gerais, conforma abordado nas Seções 4.2.3 e 5.

## **6. Conclusão**

### **References**

- Hwu, W.-m. and Kirk, D. (2009a). Programming massively parallel processors. *Special Edition*, 92.
- Hwu, W.-m. and Kirk, D. (2009b). Programming massively parallel processors. *Special Edition*, 92.
- MATLAB. Matlab documentation. <https://www.mathworks.com/help/matlab/index.html>. Acessado em: 04/12/2017.